

- LÉGENDE**
- AXE DU TRACÉ À CONSTRUIRE AU NOUVEAU-BRUNSWICK (REV G)
 - SEGMENT 2 DU QUÉBEC
 - TRACÉ DU RÉALIGNEMENT À L'ÉTUDE ENTRE SAINT-ONÉSIME ET PICARD
 - ROUTE PRINCIPALE
 - ROUTE SECONDAIRE
 - COURS D'EAU
 - NOUVEAU-BRUNSWICK
 - FRONTIÈRE PROVINCIALE
 - PLAN D'EAU

324 PR8.3.39
 Projet Oléoduc Énergie Est de TransCanada – section québécoise
 6211-18-018

- GÉOLOGIE DES DÉPÔTS MEUBLES**
- | | | | | | | | | |
|---|---|---|---|---|---|---|---|---|
| | | | | | | | | |
| AMB2 | GP2 | MM3 | MV2 | GP3 | MV3 | OP | R | SMB3 |
| AMB3 | GP3 | MM3 | MV3 | GX1 | OP | R | SMB3 | SMV3 |
| AMCB | GX1 | OP | R | GX2 | SMB3 | SMV3 | WB | WB/GX3 |
| AMM2 | GX2 | SMB3 | SMV3 | GX3 | WB | WB/GX3 | WP | WR |
| AMM3 | GX3 | WB | WB/GX3 | LB | WP | WR | | |
| AMV3 | LB | WB | WB/GX3 | LWB | | | | |
| AP | LWB | WB | WB/GX3 | WATER | | | | |
| BMB3 | MB2 | WB | WB/GX3 | | | | | |
| BMM3 | MB3 | WB | WB/GX3 | | | | | |
| BMV3 | MCB | WP | WR | | | | | |
| CB | MM2 | WR | | | | | | |



RÉFÉRENCES

- LE TRACÉ DES SEGMENTS A ÉTÉ REÇU DE TRANSCANADA. NOUVEAU-BRUNSWICK (REV G) ET QUÉBEC (REV H).
- HYDROLOGIE ET ROUTES CANVEC © RNCAN.
- BASE CARTOGRAPHIQUE UTILISÉE : COPYRIGHT © 2014 ESRI. CONTRIBUTEURS : ESRI, HERE, DELORME, MAPMYINDIA, © OPENSTREETMAP ET LA COMMUNAUTÉ DES UTILISATEURS SIG.
- SYSTÈME DE COORDONNÉES: CANADA LAMBERT CONFORMAL CONIC, DATUM: NORTH AMERICAN 1983.

CLIENT
TRANSCANADA

PROJET
**ÉNERGIE EST
 NOUVEAU-BRUNSWICK**

**VUE D'ENSEMBLE DE LA CARTOGRAPHIE DU TERRAIN,
 GÉOLOGIE DES DÉPÔTS MEUBLES**

CONSULTANT	AAAA-MM-JJ	2015-11-06
	PROJETÉ	AD
	SIG	JG
	RÉVISÉ	DO
	APPROUVÉ	WC

Path: \\golder\gdp\gis\Environment\Active\Proj\ENR2014111679_Energy\Map2_Hydro\Figures\NB\France\NBNE_Fig4_SurfaceGeology_Rev1_FR.mxd

IF THIS MEASUREMENT DOES NOT MATCH WHAT IS SHOWN, THE SHEET SIZE HAS BEEN MODIFIED FROM: 11r

3.0 MÉTHODOLOGIE

3.1 Zone à l'étude

La zone à l'étude consiste en un corridor centré sur l'axe du projet et ayant 1 km de largeur de part et d'autre. Des données d'imagerie numériques ainsi que les données LiDAR ont récemment été acquises à l'égard de ce corridor.

3.2 Collecte et revue des données antérieures

Toutes les données publiques disponibles en lien avec la géologie du roc, la géologie des dépôts meubles, l'épaisseur de mort-terrain et les investigations de sols ont été rassemblées et revues. Les données numériques disponibles ont été ajoutées à la base de données afin d'y faire référence et de les utiliser lorsque applicable. Malheureusement, la plupart des données pertinentes, incluant la carte de la géologie de l'assise rocheuse à l'échelle provinciale (Département des Ressources Naturelles et de l'Énergie du Nouveau-Brunswick 2000) et la carte géologique des dépôts meubles (Rampton 1984), étaient uniquement disponibles à l'échelle 1:500 000. Les données de prospection des sols étaient quant à elles disponibles à plusieurs échelles, dont 1:300 000 (Rees et al. 2005) et 1:50 000 (Rees et al. 1992). Par ailleurs, les journaux de vingt-six (26) forages ont été retrouvés à partir de données provinciales. L'information tirée de ces forages a été ajoutée à la cartographie, malgré qu'aucun des 26 forages n'était compris dans le corridor de 1 km de largeur.

Des photographies aériennes stéréoscopiques numériques et en couleur, des données LiDAR d'une résolution de 50 cm, la localisation du tracé ainsi que des données provenant de forages horizontaux directionnels ont été fournis par Energy East Pipeline Ltd. (EEPL). Les photographies aériennes ainsi que les données LiDAR ont été initialement acquises en 2013 et 2014. Les données relatives aux zones où le tracé a changé en cours de mandat ont été acquises par la suite. L'imagerie, d'une qualité exceptionnelle, peut être visualisée à une échelle aussi grande que 1:350. Aucune photographie aérienne stéréoscopique à l'échelle régionale n'était cependant disponible en format numérique.

3.3 Cartographie et interprétation

La cartographie a été réalisée à l'aide des logiciels de cartographie ArcGIS et PurVIEW. Ces logiciels permettent aux géomorphologues de visualiser les photographies aériennes numériques stéréoscopiques en 3D sur un écran d'ordinateur et de définir différentes unités géomorphologiques et unités géologiques de surface homogènes pour les fins de l'étude. Parmi les avantages que procurent cet outil par rapport aux approches traditionnelles de cartographie utilisant le stéréoscope et les photographies aériennes, il est notamment possible d'agrandir l'échelle jusqu'à des valeurs de 1:350 par rapport à l'échelle initiale d'acquisition d'environ 1:12 500.

Des polygones d'unités géomorphologiques relativement homogènes ont été définis selon les critères suivants :

- Matériaux de surface/type de sol (roc, till, matériau d'origine fluvioglaciale, matière organique, etc.);
- Expression de surface (en pente, ondulée, en terrasse, plane, etc.);
- Profondeur du roc (en surface, < 1 m, 1 à 3 m, > 3 m);
- Drainage (rapide, bon, modérément bon, déficient, mauvais, très mauvais); et
- Facteurs de modification géologiques (écoulement, glissement de terrain, karst, etc.).

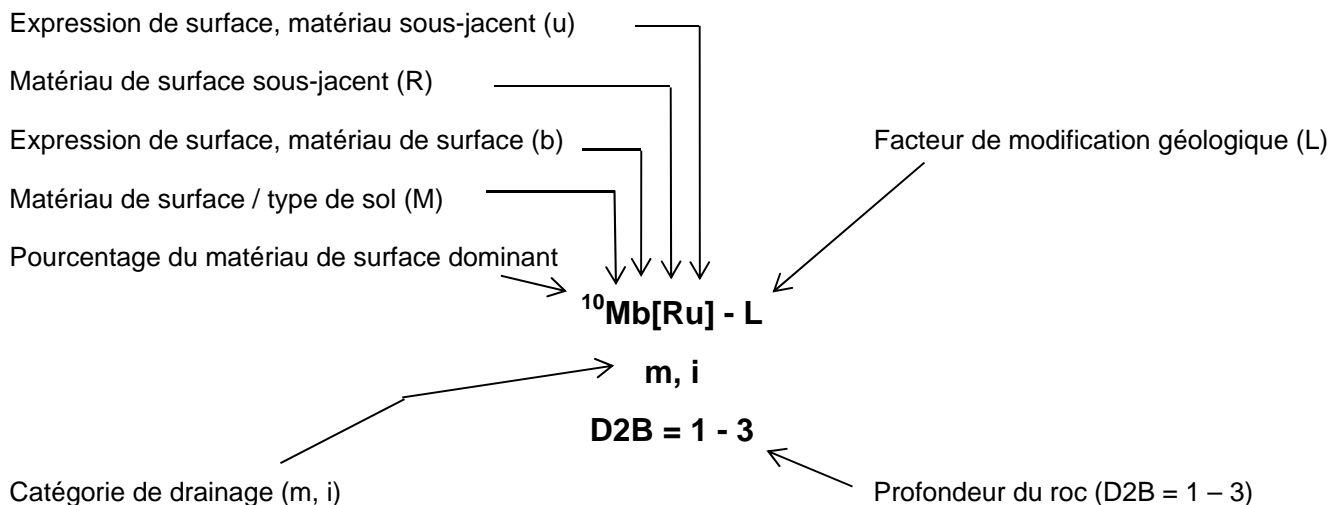
L'utilisation de logiciels de cartographie permet entre autres aux géomorphologues de visualiser les images à différentes échelles. Dans cette étude, les images ont pu être visualisées à des échelles variant de 1:20 000 à 1:350. La plupart des délimitations des unités géomorphologiques et géologiques de surface ont été effectués à une échelle d'environ 1:5 000 tandis que les unités critiques, telles les marais et les affleurements rocheux < 2 ha, interceptées par le tracé, ont été définies à une échelle de 1:1 000 ou à meilleure échelle.

Deux recueils cartographiques à l'échelle 1:15 000 ont été produits pour cartographier (1) la profondeur du roc et (2) les matériaux de surface/type de sol¹. L'échelle 1 :15 000 a été privilégiée pour la production des cartes par souci de réduction du nombre total de cartes nécessaires et ce, même si la cartographie en tant que telle a été réalisée à une échelle approximative de 1:5 000. Cette décision a résulté en la production de 84 cartes à l'échelle 1:15 000 afin de couvrir le Segment du Nouveau-Brunswick, long de 411 km.

Une classification basée sur un code de couleur a été établie pour représenter les différentes profondeurs du roc.

Catégories des profondeurs du roc	
	En surface
	Moins de 1 m sous la surface du sol
	Entre 1 et 3 m de la surface du sol
	Plus de 3 m sous la surface

Chaque polygone de terrain possède une étiquette semblable à celle montrée ci-dessous :



¹ Le terme "type de sol" est utilisé dans son sens commun en ingénierie et est synonyme du terme "matériaux superficiels"; il n'est pas utilisé dans une perspective agricole de sols afin de les classer selon le système canadien de classification de sols (1997).

Des analyses statistiques ont été réalisées à partir de la base de données développée lors de la cartographie du terrain.

3.4 Normes de cartographie

La cartographie du terrain a été réalisée selon le *Terrain Classification System* de Colombie-Britannique, Version 2.0 (Howes et Kenk 1997). TransCanada et Golder recommandent l'utilisation de ce manuel pour les projets de cartographie du terrain.

3.5 Contrôle Qualité

Un certain nombre de procédures de contrôle qualité ont été mises en place pour la réalisation de la cartographie. Les éléments suivants en faisaient partie :

- 1) Des géomorphologues familiers avec les normes de cartographie ont été assignés à cette tâche.
- 2) Une revue des images numériques stéréoscopiques et des données LiDAR a été réalisée en compagnie de tous les géomorphologues pour s'assurer que tous identifiaient et définissaient les éléments critiques du relief (affleurement rocheux, épais dépôts, type de matériau, etc.) selon une approche similaire.
- 3) Les données antérieures ont été partagées afin de s'assurer que tous les membres de l'équipe possédaient une bonne connaissance des différents types de roc, des matériaux de surface/types de sol susceptibles d'être rencontrés.
- 4) Tous les cartographes ont participé à une revue de la cartographie et de la classification sur une base quotidienne.
- 5) Un programme d'assurance et de contrôle de la qualité a permis au géomorphologue senior, M. Dennis O'Leary (superviseur de cette partie du projet), de réviser au moins 50 % de toutes les unités géomorphologiques identifiées.
- 6) Un programme d'assurance et contrôle de la qualité de la base de données a permis de s'assurer que tous les champs ont été correctement programmés et que les formulations conditionnelles étaient conformes. Par exemple, la catégorie de drainage doit indiquer rapide pour le roc, mauvaise à très mauvaise pour les sols organiques et le champ devrait indiquer que le roc est « en surface » si ce dernier a été identifié comme tel.
- 7) Le présent rapport a également été révisé par un réviseur senior, Dr. Les Fuller, Ph.D, P.Ag. (agronome), afin de s'assurer qu'il répond aux besoins du projet et qu'il reflète les différentes données analysées.

4.0 RÉSULTATS

Au total, ce sont 1 537 unités géomorphologiques et unités géologiques de surface qui ont été identifiées dans le corridor de 1 km de largeur. La taille moyenne des polygones définis est de 266,9 ha tandis que la taille minimum et maximum des polygones est respectivement de 0,04 ha (petit plan d'eau) et 627,0 ha (couvert morainique recouvrant une surface quasi horizontale de roc). De la même façon, ce sont 711 unités géomorphologiques et unités géologiques de surface qui sont traversées par le tracé du projet. La longueur moyenne, la longueur minimum et la longueur maximum de ces segments sont respectivement de 578 m, < 1 m et 6 733 m.

Parmi les 1 537 unités géomorphologiques et unités géologiques de surface identifiées, 1 360 (88,5 %) ont été catégorisées comme des unités « pure », c'est-à-dire qu'elles avaient un seul type de matériau de surface (par exemple ¹⁰Mvb[Ru]) tandis que les 177 unités additionnelles possédaient deux types de matériaux (⁸Mvb[Ru] ²Ov[Mvb]). Chacun de ces polygones/segments de terrain est associé à différentes données telles que (1) la géologie des dépôts meubles, (2) l'expression de surface, (3) la profondeur du roc, (4) la catégorie de drainage et (5) le facteur de modification géologique, lorsqu'applicable.

Ce rapport présente également deux recueils cartographiques, lesquels incluent les éléments suivants :

- 1) La profondeur du roc (classifiée selon un code de couleur); et
- 2) Les matériaux de surface (classifiés selon un code de couleur basé sur le type de matériau source dominant/type de sol).

Ces deux recueils cartographiques doivent être utilisés conjointement avec ce rapport.

4.1 Profondeur du roc

Le Tableau 3 présente un résumé des caractéristiques du roc à l'intérieur du corridor de 1 km de largeur centré sur le tracé de même que celles qui interceptent le tracé du projet lui-même. L'annexe 1 présente une série de cartes à l'échelle 1:15 000 montrant la profondeur du roc à l'intérieur du corridor de 1 km de largeur centré sur le tracé. Le tracé et les PK sont représentés sur ces cartes.

Tableau 3 : Profondeur du roc¹

Catégorie	Corridor de 1 km de largeur		Interception par le tracé	
	Superficie (ha)	Pourcentage (%)	Longueur (km)	Pourcentage (%)
En surface	7 851,6	1,9	9,9	2,4
< 1 m sous la surface	82 851,1	20,2	85,2	20,7
1 à 3 m sous la surface	164 740,1	40,1	166,2	40,5
>3 m sous la surface	121 266,2	29,6	111,8	29,0
Non-classifié ²	33 507,3	8,2	30,5	7,4

1. Données provenant de l'interprétation avec les logiciels de cartographie des cartes à l'échelle 1:5 000.
2. La catégorie non-classifiée inclut les zones où aucune donnée d'imagerie n'était disponible lors de la réalisation de la cartographie. La cartographie a été effectuée dans les deux semaines suivant la réception de l'imagerie de TCPL au début de l'année 2015.

Parmi les 380 km cartographiés jusqu'à maintenant sur les 411 km que comprend la portion du tracé à construire au Nouveau-Brunswick, 112 km, soit 29 % du tracé, rencontrera probablement des matériaux de surface de plus de 3 m d'épaisseur. De plus, à la lumière de cette cartographie, les affleurements rocheux sont plus présents à l'extrémité sud du tracé. L'annexe 1 fournit une liste détaillée des profondeurs potentielles du roc ainsi que les groupes de roc par PK.

4.2 Matériaux de surface / Types de sol

Le Tableau 4 présente le sommaire des matériaux de surface/types de sol à l'intérieur du corridor de 1 km de largeur de même que pour les zones interceptant le tracé du projet. L'annexe 2 fournit quant à elle une liste détaillée des types de matériaux/type de sol selon les PK

Tableau 4 : Matériaux de surface / Types de sol¹

Catégorie	Corridor de 1 km de largeur		Interception par le tracé	
	Superficie (ha)	Pourcentage (%)	Longueur (km)	Pourcentage
Anthropogénique (A)	2 055,4	0,5	1,8	0,4
Colluvion (C)	1 792,0	0,4	1,5	0,4
Fluvial (F)	15 777,0	3,8	10,9	2,6
Fluvioglaciale (FG)	58 249,5	14,2	63,1	15,4
Glaciolacustre (LG)	338,2	< 0,1	0,07	< 0,1
Glaciomarin (WG)	10 132,7	2,5	9,3	2,2
Till (M)	270 203,1	65,9	278,9	67,9
Organique (O)	15 308,4	3,7	10,3	2,5
Eau (N)	2 675,0	0,6	1,1	0,3
Assise rocheuse (R)	2 155,5	0,5	3,8	0,9
Non-classifié ²	31 529,3	7,6	29,7	7,2

1. Données provenant de l'interprétation avec les logiciels de cartographie des cartes à l'échelle 1:5000.
2. La catégorie non-classifiée inclut les zones où aucune donnée d'imagerie n'était disponible lors de la réalisation de la cartographie.

À la lumière du Tableau 4, il s'avère évident que le till constitue le matériau dominant à l'intérieur du corridor de 1 km de largeur (65,9 %) de même que pour les unités interceptées par le tracé (67,9 %). Le deuxième matériau dominant est occupé par les matériaux grossiers d'origine fluvioglaciale (14,2 et 15,4 %, respectivement). L'annexe 2 montre un résumé des matériaux de surface dominants/types de sol interceptés par le tracé, selon son PK.

4.3 Précision de la cartographie

Il est généralement considéré qu'une bonne cartographie du terrain, appuyée par des investigations, possède une précision de plus de 80 %, ce qui veut dire que la profondeur du roc ainsi que les matériaux de surface/types de sols seraient valides dans plus de 80 % des interprétations. Dans ce cas-ci, considérant qu'aucune campagne d'investigation n'a été réalisée à ce jour pour appuyer la cartographie, il est prudent d'estimer que la précision de cette dernière est plutôt de l'ordre de 70-75 %.

5.0 RECOMMANDATIONS

Les recommandations suivantes s'appliquent à la présente étude :

1. Afin de vérifier/confirmer la présente interprétation des données disponibles, il est recommandé de réaliser une campagne d'investigation.
2. La cartographie n'a pas été réalisée pour les zones suivantes pour lesquelles aucune donnée stéréoscopique n'était disponible en format numérique :
 - a. PK 177+455 à 194+380
 - b. PK 234+185 à 235+310
 - c. PK 243+451 à 248+860
 - d. PK 272+365 à 275+225

Une collecte des données d'imagerie et la réalisation de la cartographie devrait être réalisée pour ces zones. Une campagne de reconnaissance des sols devraient également être réalisée pour vérifier la cartographie.

6.0 LIMITATIONS

Les limitations suivantes ont été identifiées :

1. Aucune donnée de terrain, que ce soit des données provenant de campagnes d'investigation, de routes passant dans des zones en déblai, de forages géotechniques ou de données géophysiques, n'a été amassée pour vérifier cette cartographie.
2. Les images entre le PK 0+000 et le PK 40+000 montraient une couverture de neige d'épaisseur variable, ce qui a rendu difficile l'interprétation de la géologie des dépôts meubles/types de sol ainsi que celle de la profondeur du roc.
3. Aucune photographie aérienne à l'échelle régionale (1:30 000) n'a été fournie pour la réalisation de la cartographie. Par conséquent, il n'a pas été possible d'identifier les conditions du terrain ou la présence de facteurs de modifications géologiques (glissement de terrain, écoulement, ravinement, karst, etc.) à l'extérieur du corridor de 1 km de largeur, ce qui peut avoir eu pour effet de limiter la compréhension du contexte géomorphologique lié aux conditions du terrain à l'intérieur du corridor.

RÉFÉRENCES

- Bostock, H.S. 1970. A provisional physiographic map of Canada. Geological Survey of Canada paper 64-35 and map1245A (1964).
- Fahmy, S.H., S.W.R. Hann et Y. Jiao. 2010. Soils of New Brunswick, the Second Approximation. Agriculture and Agri-Food Canada, Fredericton, New Brunswick.
- Howes, D.E. et E. Kenk. 1997. Terrain Classification System for British Columbia, Version 2.0, 1997. British Columbia Ministry of Environment, Victoria, B.C.
- New Brunswick Department of Natural Resources and Energy. 2000. Bedrock geology of New Brunswick. Mineral and Energy Division, Map NR-1 (2000 edition), Scale 1:500,000.
- New Brunswick Department of Natural Resources. 1987. Atlas of granular aggregate resources, New Brunswick. Mineral Resources Division, Miscellaneous Report 6.
- Rampton, V.N. 1984. Generalized surficial geology map of New Brunswick. Department of Natural Resources and Energy, Minerals, Policy and Planning Division, NR 8, Scale 1:500,000.
- Rampton, V. N., R.C., Gauthier, J. Thibault et A.A. Seaman. 1984. Quaternary Geology of New Brunswick, Memoir 416, Geological Survey of Canada.
- Rees, H.W., S.H. Fahmy, C. Wang et R.E. Wells. 2005. Soils of Central and Northern New Brunswick. Soil Survey Report No. 12. Agriculture Canada. Scale 1:300,000.
- Rees, H.W., K.K. Langmaid, C.Veer, C. Wang, R.E. Wells, S.H. Fahmy et J.D. Losier. 1992. Soils of the Chipman-Minto-Harcourt region of New Brunswick. Agriculture Canada, Research Branch.
- Smith, E.A. 2008. Bedrock geology of central New Brunswick (NTS 21I and part of 11L). New Brunswick Department of Natural Resources; Minerals, Policy and Planning Division, Plate NR-10. Scale 1:250,000.

ANNEXE 1

Profondeur et groupe du roc selon les PK

ANNEXE 1

Profondeur et groupe du roc selon les PK

PK de début	PK de fin	Profondeur du roc	Groupe géologique du roc
0,00	00+470	1 - 3 m	Groupe de Fortin
00+470	00+905	< 1 m	
00+905	1+114	1 - 3 m	
1+114	1+176	< 1 m	
1+176	1+272	1 - 3 m	
1+272	1+383	> 3 m	
1+383	1+807	1 - 3 m	
1+870	3+205	< 1 m	
3+205	3+556	1 - 3 m	
3+556	6+010	< 1 m	
6+010	6+600	1 - 3 m	
6+600	7+298	< 1 m	
7+298	9+732	1 - 3 m	
9+732	10+796	< 1 m	
10+796	11+559	1 - 3 m	
11+559	12+870	< 1 m	
12+870	13+144	1 - 3 m	
13+144	13+681	> 3 m	
13+681	13+945	1 - 3 m	
13+945	15+463	< 1 m	
15+463	15+613	1 - 3 m	
15+613	16+565	< 1 m	
16+565	17+077	1 - 3 m	
17+077	17+197	< 1 m	
17+197	17+279	En surface	
17+279	17+354	< 1 m	
17+354	18+482	> 3 m	
17+482	17+736	1 - 3 m	
17+736	17+974	< 1 m	
17+974	18+203	1 - 3 m	
18+203	18+288	< 1 m	

PK de début	PK de fin	Profondeur du roc	Groupe géologique du roc
18+288	19+479	1 - 3 m	
19+479	19+643	> 3 m	
19+643	19+866	1 - 3 m	
19+866	19+930	> 3 m	
19+930	20+252	1 - 3 m	
20+252	20+774	> 3 m	
20+774	20+944	< 1 m	
20+944	21+555	En surface	
21+555	21+576	< 1 m	
21+576	21+721	1 - 3 m	
21+721	21+748	< 1 m	
21+748	21+877	1 - 3 m	
21+877	22+256	< 1 m	
22+256	22+547	1 - 3 m	
22+547	22+845	< 1 m	
22+845	23+157	1 - 3 m	
23+157	23+187	< 1 m	
23+187	23+208	1 - 3 m	
23+208	23+389	< 1 m	
23+389	23+581	> 3 m	
23+581	24+292	1 - 3 m	
24+292	24+928	< 1 m	
24+928	24+973	1 - 3 m	
24+973	25+381	< 1 m	
25+381	26+785	1 - 3 m	
26+785	27+115	< 1 m	
27+115	27+197	1 - 3 m	
27+197	27+607	> 3 m	
27+607	28+192	1 - 3 m	
28+192	29+700	< 1 m	
29+700	29+931	1 - 3 m	
29+931	30+263	> 3 m	
30+263	30+659	1 - 3 m	
30+659	30+771	< 1 m	

PK de début	PK de fin	Profondeur du roc	Groupe géologique du roc	
30+771	30+883	1 - 3 m		
30+883	32+304	> 3 m		
32+304	32+771	1 - 3 m		
32+771	34+823	< 1 m		
34+823	35+144	> 3 m		
35+144	35+373	1 - 3 m		
35+373	37+467	< 1 m		
37+467	39+546	1 - 3 m		
39+546	41+340	> 3 m		
41+340	41+880	1 - 3 m		
41+880	43+745	> 3 m		
43+745	43+864	1 - 3 m		
43+864	44+530	< 1 m		
44+530	44+585	En surface		
44+585	44+610	< 1 m		
44+610	44+675	En surface		
44+675	44+855	< 1 m		
44+855	44+910	1 - 3 m		
44+910	45+748	< 1 m		
45+748	45+795	< 1 m		Groupe de Perham
45+795	45+885	1 - 3 m		
45+885	45+945	< 1 m		
45+945	46+460	1 - 3 m		
46+460	46+671	< 1 m		
46+671	46+846	1 - 3 m	Groupe de Matapédia	
46+846	51+366	Pas d'image		
51+366	51+699		Groupe de Grog Brook	
51+699	52+380	< 1 m		
52+380	52+510	1 - 3 m		
52+510	52+741	< 1 m		
52+741	54+375	1 - 3 m		
54+375	54+560	> 3 m		
54+560	54+630	1 - 3 m		
54+630	55+888	< 1 m		

PK de début	PK de fin	Profondeur du roc	Groupe géologique du roc
55+888	58+540	> 3 m	Groupe de Matapédia
58+540	58+569	1 - 3 m	
58+569	59+002	> 3 m	
59+002	59+665	> 3 m	
59+665	59+736	1 - 3 m	
59+736	60+135	< 1 m	
60+135	61+390	1 - 3 m	
61+390	61+583	< 1 m	
61+583	61+840	1 - 3 m	
61+840	63+576	< 1 m	
63+576	64+051	1 - 3 m	
64+051	64+560	> 3 m	
64+560	65+227	1 - 3 m	
65+227	65+361	< 1 m	
65+361	65+430	1 - 3 m	
65+430	65+575	< 1 m	
65+575	65+847	1 - 3 m	
65+847	66+643	> 3 m	
66+643	67+118	1 - 3 m	
67+118	70+726	> 3 m	Groupe de Grog Brook
70+726	74+250	> 3 m	
74+250	81+000	Pas d'image	
81+100	81+596	> 3 m	Groupe de Matapédia
81+596	82+190	< 1 m	
82+190	83+257	En surface	
83+257	84+022	< 1 m	
84+022	84+223	1 - 3 m	
84+223	84+342	< 1 m	
84+342	84+886	1 - 3 m	
84+886	85+285	< 1 m	
85+285	85+290	1 - 3 m	
85+290	89+784	< 1 m	
89+784	90+317	1 - 3 m	
90+317	91+949	< 1 m	

PK de début	PK de fin	Profondeur du roc	Groupe géologique du roc
91+949	92+268	1 - 3 m	
92+268	94+247	< 1 m	
94+247	94+325	> 3 m	
94+325	97+398	< 1 m	
97+398	97+400	< 1 m	
97+400	97+451	1 - 3 m	
97+451	98+901	< 1 m	
98+901	99+040	1 - 3 m	
99+040	99+070	> 3 m	
99+070	99+107	1 - 3 m	
99+107	100+710	< 1 m	
100+710	101+040	1 - 3 m	
101+040	101+050	En surface	
101+050	101+165	1 - 3 m	
101+165	101+184	< 1 m	
101+184	101+415	1 - 3 m	
101+415	101+428	< 1 m	
101+428	101+463	1 - 3 m	Groupe de Tobique
101+463	101+605	< 1 m	
101+605	107+880	1 - 3 m	
107+880	109+161	< 1 m	
109+161	109+712	1 - 3 m	
109+712	110+310	< 1 m	
110+310	110+606	1 - 3 m	
110+606	110+778	< 1 m	
110+778	110+900	1 - 3 m	
110+900	111+155	< 1 m	
111+155	111+537	En surface	
111+537	111+684	< 1 m	
111+684	111+865	1 - 3 m	
111+865	112+091	< 1 m	
112+091	112+386	< 1 m	
112+386	113+055	1 - 3 m	Groupe de Mabou
113+055	113+161	> 3 m	

PK de début	PK de fin	Profondeur du roc	Groupe géologique du roc
113+161	113+518	1 - 3 m	
113+518	113+739	> 3 m	
113+739	114+710	1 - 3 m	
114+710	116+321	> 3 m	
116+321	117+167	> 3 m	
117+167	117+543	1 - 3 m	Groupe de Tobique
117+543	117+814	1 - 3 m	Groupe de Mabou
117+814	117+835	> 3 m	
117+835	117+870	1 - 3 m	
117+870	118+074	< 1 m	
118+074	118+806	1 - 3 m	
118+806	118+902	> 3 m	
118+902	120+193	1 - 3 m	
120+193	122+165	> 3 m	
122+165	122+269	1 - 3 m	
122+269	122+720	> 3 m	
122+720	125+050	1 - 3 m	
125+050	125+271	> 3 m	
125+271	125+417	1 - 3 m	
125+417	131+691	> 3 m	
131+691	132+225	< 1 m	
132+225	134+724	> 3 m	
134+724	135+610	> 3 m	
135+610	135+968	< 1 m	
135+968	136+091	En surface	
136+091	136+827	< 1 m	
136+827	137+041	En surface	
137+041	138+537	< 1 m	
138+537	139+664	1 - 3 m	
139+664	140+105	< 1 m	
140+105	140+494	1 - 3 m	Sans dénomination
140+494	141+894	> 3 m	
141+894	142+616	> 3 m	
142+616	143+095	1 - 3 m	

PK de début	PK de fin	Profondeur du roc	Groupe géologique du roc
143+095	143+968	1 - 3 m	Groupe de Tobique
143+968	144+043	> 3 m	
144+043	144+256	1 - 3 m	
144+256	144+389	> 3 m	
144+389	144+981	1 - 3 m	
144+981	145+032	> 3 m	
145+032	149+307	1 - 3 m	
149+307	150+629	> 3 m	
150+629	151+650	1 - 3 m	
151+650	152+126	> 3 m	
152+126	152+229	1 - 3 m	
152+229	154+205	> 3 m	
154+205	154+750	< 1 m	
154+750	155+486	1 - 3 m	
155+486	155+875	< 1 m	
155+875	156+885	1 - 3 m	
156+885	157+031	> 3 m	
157+031	158+060	1 - 3 m	
158+060	158+390	> 3 m	
158+390	158+780	1 - 3 m	
158+780	159+080	< 1 m	
159+080	159+499	1 - 3 m	
159+499	160+577	> 3 m	
160+577	161+539	1 - 3 m	
161+539	161+563	> 3 m	
161+563	163+328	1 - 3 m	
163+328	164+290	> 3 m	
164+290	164+596	< 1 m	
164+596	164+856	< 1 m	Sans dénomination
164+856	165+000	< 1 m	Groupe de Tobique
165+000	165+448	> 3 m	
165+448	165+760	< 1 m	
165+760	165+839	> 3 m	Sans dénomination
165+839	166+121	> 3 m	

PK de début	PK de fin	Profondeur du roc	Groupe géologique du roc
166+121	166+408	1 - 3 m	
166+408	166+855	> 3 m	
166+855	167+070	> 3 m	
167+070	167+490	< 1 m	Groupe de Tobique
167+490	167+491	< 1 m	Granite de Juniper Barren
167+491	167+730	> 3 m	
167+730	169+045	< 1 m	
169+045	169+715	1 - 3 m	
169+715	170+119	> 3 m	
170+119	170+202	> 3 m	Granodiorite de Bogan Brook
170+202	170+324	1 - 3 m	
170+324	170+448	< 1 m	
170+448	170+866	En surface	
170+866	171+469	En surface	
171+469	171+851	< 1 m	Suite métamorphique de Trousers Lake
171+851	172+795	> 3 m	
172+795	173+143	1 - 3 m	
173+143	173+675	< 1 m	
173+675	173+795	> 3 m	
173+795	174+685	1 - 3 m	
174+685	175+884	> 3 m	
175+844	175+995	1 - 3 m	
175+995	176+161	< 1 m	
176+161	176+362	En surface	
176+362	176+487	< 1 m	Granite de Nashwaak
176+487	176+846	1 - 3 m	
176+846	177+686	> 3 m	Groupe de Tetagouche
177+686	177+455	> 3 m	
177+455	185+793	Pas d'image	Groupe de Tetagouche
185+793	185+914	Pas d'image	Groupe de Miramichi
185+914	187+491	Pas d'image	Groupe de Tetagouche
187+491	188+644	Pas d'image	Groupe de Miramichi
188+644	192+657	Pas d'image	Groupe de Tetagouche
192+657	194+380	Pas d'image	Groupe de Tetagouche

PK de début	PK de fin	Profondeur du roc	Groupe géologique du roc
194+380	196+409	> 3 m	Groupe de Miramichi
196+409	196+841	1 - 3 m	
196+841	199+628	> 3 m	
199+628	201+265	> 3 m	
201+265	202+463	1 - 3 m	
202+463	208+256	1 - 3 m	Groupe de Kingsclear
208+256	208+911	> 3 m	
208+911	213+142	1 - 3 m	
213+142	214+885	< 1 m	
214+885	217+876	1 - 3 m	
217+876	218+106	> 3 m	
218+106	219+678	1 - 3 m	
219+678	220+265	1 - 3 m	Groupe de Mabou
220+265	224+786	1 - 3 m	Groupe de Pictou
224+786	225+376	> 3 m	
225+376	234+185	1 - 3 m	
234+185	235+310	Pas d'image	
235+310	243+451	1 - 3 m	
243+451	248+860	Pas d'image	
248+860	254+496	1 - 3 m	
254+496	254+511	> 3 m	
254+511	254+546	1 - 3 m	
254+546	258+521	> 3 m	
258+521	259+117	1 - 3 m	
259+117	259+176	> 3 m	
259+176	268+941	1 - 3 m	
268+941	269+066	> 3 m	
269+066	270+603	1 - 3 m	
270+603	270+806	> 3 m	
270+806	271+493	1 - 3 m	
271+493	271+784	< 1 m	
271+784	272+365	> 3 m	
272+365	273+831	Pas d'image	Groupe de Mabou
273+831	275+225	Pas d'image	

PK de début	PK de fin	Profondeur du roc	Groupe géologique du roc
275+225	276+628	>3 m	
276+628	286+541	> 3 m	
286+541	286+750	1-3 m(b)	
286+750	286+810	> 3 m	
286+810	286+871	1-3 m(b)	
286+871	293+143	> 3 m	
293+143	295+291	1 - 3 m	
295+291	295+452	> 3 m	
295+452	298+091	1 - 3 m	
298+091	298+458	> 3 m	
298+458	301+734	1 - 3 m	
301+734	303+216	> 3 m	
303+216	313+203	1 - 3 m	
313+203	313+956	> 3 m	Groupe de Pictou
313+956	317+126	1 - 3 m	
317+126	318+044	> 3 m	
318+044	318+390	1 - 3 m	
318+390	318+431	> 3 m	
318+431	318+477	1 - 3 m	
318+477	318+881	< 1 m	
318+881	319+771	1 - 3 m	
319+771	319+918	< 1 m	
319+918	320+166	1 - 3 m	
320+166	320+246	< 1 m	
320+246	328+771	1 - 3 m	
328+771	328+916	> 3 m	
328+916	328+927	> 3 m	
328+927	329+575	< 1 m	Groupe Annidale
329+575	331+551	1 - 3 m	
331+551	332+325	1 - 3 m	
332+325	332+342	< 1 m	
332+342	332+502	1 - 3 m	Gabbro de Stewarton
332+502	333+729	< 1 m	
333+729	334+111	1 - 3 m	

PK de début	PK de fin	Profondeur du roc	Groupe géologique du roc
334+111	334+126	> 3 m	
334+111	334+126	1 - 3 m	
334+126	335+329	> 3 m	
335+329	335+579	1 - 3 m	
335+579	336+897	1 - 3 m	Groupe de Mascarene
336+897	337+356	1 - 3 m	
337+356	337+458	< 1 m	Groupe Annidale
337+458	337+893	1 - 3 m	
337+893	337+944	1 - 3 m	
337+944	338+291	< 1 m	
338+291	338+646	> 3 m	Groupe de Bellisle Bay
338+646	338+909	< 1 m	
338+909	339+272	> 3 m	
339+272	339+965	> 3 m	Groupe de Mabou
339+965	340+616	> 3 m	Groupe de Horton
340+616	341+401	> 3 m	
341+401	341+493	> 3 m	Groupe Sussex
341+493	341+567	< 1 m	
341+567	341+664	< 1 m	
341+664	342+080	< 1 m	
342+080	344+146	1 - 3 m	Groupe de Horton
344+146	345+381	> 3 m	
345+381	345+593	< 1 m	
345+593	346+051	< 1 m	
346+051	346+064	> 3 m	
346+064	346+067	< 1 m	
346+067	346+076	> 3 m	
346+076	346+083	< 1 m	
346+083	346+103	> 3 m	Groupe Kingston
346+103	346+107	< 1 m	
346+107	346+116	> 3 m	
346+116	346+116	< 1 m	
346+116	346+116	> 3 m	
346+116	346+121	< 1 m	

PK de début	PK de fin	Profondeur du roc	Groupe géologique du roc	
346+121	348+206	> 3 m		
348+206	349+121	1 - 3 m		
349+121	349+171	En surface		
349+171	349+256	> 3 m		
349+256	349+686	1 - 3 m		
349+686	349+768	> 3 m		
349+768	350+286	> 3 m		
350+286	351+384	1 - 3 m		
351+384	351+761	< 1 m		
351+761	351+772	En surface		
351+772	351+783	En surface		Groupe de Mabou
351+783	351+951	> 3 m		
351+951	352+621	1 - 3 m		
352+621	353+616	> 3 m		
353+616	354+928	1 - 3 m		
354+928	355+366	> 3 m		
355+366	355+501	1 - 3 m		
355+501	355+511	1 - 3 m	Groupe Horton	
355+511	356+406	> 3 m		
356+406	358+086	1 - 3 m		
358+086	359+381	> 3 m		
359+381	359+416	1 - 3 m		
359+416	359+502	> 3 m		
359+502	359+550	1 - 3 m		
359+550	361+136	> 3 m		
361+136	361+361	1 - 3 m		
361+361	361+911	< 1 m		
361+911	362+891	1 - 3 m		Groupe de Mabou
362+891	363+449	< 1 m		
363+449	363+993	1 - 3 m		
363+993	364+526	1 - 3 m		
364+526	364+925	> 3 m		
364+925	365+786	1 - 3 m		
365+786	365+829	> 3 m		

PK de début	PK de fin	Profondeur du roc	Groupe géologique du roc
365+829	366+786	1 - 3 m	
366+786	367+997	> 3 m	
367+997	368+149	1 - 3 m	
368+149	368+687	1 - 3 m	
368+687	369+461	> 3 m	
369+461	369+611	1 - 3 m	
369+611	369+721	< 1 m	
369+721	369+738	1 - 3 m	
369+738	369+791	< 1 m	
369+791	370+527	1 - 3 m	
370+527	371+783	> 3 m	
371+783	373+086	1 - 3 m	
373+086	373+671	< 1 m	
373+671	374+156	1 - 3 m	
374+156	375+536	< 1 m	
375+536	375+666	En surface	
375+666	375+905	< 1 m	
375+905	376+561	1 - 3 m	
376+561	376+971	< 1 m	Groupe de Coldbrook
376+971	377+046	En surface	
377+046	377+066	< 1 m	
377+066	377+116	En surface	
377+116	377+566	< 1 m	
377+566	377+661	1 - 3 m	
377+661	378+406	< 1 m	
378+406	378+626	1 - 3 m	
378+626	379+166	< 1 m	
379+166	379+321	1 - 3 m	
379+321	379+748	< 1 m	
379+748	380+126	1 - 3 m	
380+126	380+529	< 1 m	
380+529	380+939	1 - 3 m	
380+939	381+006	> 3 m	
381+006	382+211	< 1 m	

PK de début	PK de fin	Profondeur du roc	Groupe géologique du roc
382+211	382+621	1 - 3 m	
382+621	382+758	< 1 m	
382+758	383+191	> 3 m	
383+191	383+476	1 - 3 m	
383+476	383+591	< 1 m	
383+591	383+749	1 - 3 m	
383+749	384+288	< 1 m	
384+288	384+326	1 - 3 m	
384+326	384+466	< 1 m	
384+466	384+544	1 - 3 m	
384+544	384+706	< 1 m	
384+706	384+761	1 - 3 m	
384+761	385+111	< 1 m	
385+111	386+612	1 - 3 m	
386+612	386+871	< 1 m	
386+871	386+896	1 - 3 m	
386+896	387+011	< 1 m	
387+011	387+416	1 - 3 m	
387+416	387+471	< 1 m	
387+471	387+876	En surface	
387+876	388+073	< 1 m	
388+073	388+105	En surface	
388+105	388+236	< 1 m	
388+236	388+376	1 - 3 m	
388+376	389+016	> 3 m	
389+016	389+425	1 - 3 m	
389+425	393+871	< 1 m	
393+871	393+961	En surface	
393+961	394+246	< 1 m	
394+246	394+905	1 - 3 m	
394+905	395+066	< 1 m	
395+066	395+081	1 - 3 m	
395+081	397+221	< 1 m	
397+221	397+286	En surface	

PK de début	PK de fin	Profondeur du roc	Groupe géologique du roc
397+286	397+413	< 1 m	
397+413	397+470	En surface	
397+470	398+214	< 1 m	
398+214	398+281	En surface	
398+281	398+792	< 1m (v)	
398+792	398+892	1 - 3 m	
398+892	399+086	En surface	
399+086	399+116	< 1 m	
399+116	399+151	En surface	
399+151	399+181	< 1 m	
399+181	399+236	En surface	
399+236	399+336	1 - 3 m	
399+336	399+461	En surface	
399+461	399+596	1 - 3 m	
399+596	399+711	En surface	
399+711	399+907	< 1 m	
399+907	399+989	En surface	
399+989	400+067	< 1 m	
400+067	400+126	En surface	
400+126	400+201	< 1 m	
400+201	400+283	En surface	
400+283	400+331	< 1 m	
400+331	400+406	En surface	
400+406	400+526	< 1 m	
400+526	401+002	En surface	
401+002	401+631	< 1 m	
401+631	402+734	En surface	
402+734	402+795	< 1 m	
402+795	403+106	En surface	
403+106	403+331	< 1 m	
403+331	403+406	En surface	
403+406	403+471	1 - 3 m	
403+471	404+571	En surface	
404+571	404+608	< 1 m	

PK de début	PK de fin	Profondeur du roc	Groupe géologique du roc
404+608	404+661	En surface	
404+661	404+741	1 - 3 m	
404+741	404+761	En surface	
404+761	404+763	< 1 m	
404+763	404+916	1 - 3 m	
404+916	406+751	< 1 m	
406+751	406+851	1 - 3 m	
406+851	407+398	< 1 m	
407+398	407+549	1 - 3 m	
407+549	408+931	< 1 m	
408+931	409+516	En surface	
409+516	410+086	< 1 m	
410+086	410+437	En surface	
410+437	410+581	< 1 m	
410+581	410+698	En surface	
410+698	410+747	1 - 3 m	

ANNEXE 2

Matériaux de surface / Types de sol par PK

ANNEXE 2

Matériaux de surface/ Types de sol par PK

PK de début	PK de fin	Matériau de surface dominant / Type de sol
0,00	0+47	M
0+47	0+787	M
0+787	1+176	M
1+176	1+272	F
1+272	1+383	FG
1+383	1+533	FG
1+533	1+675	M
1+675	1+677	M
1+677	1+736	M
1+736	1+870	M
1+870	2+066	M
2+066	2+100	M
2+100	2+267	M
2+267	2+772	M
2+772	3+205	FG
3+205	3+264	F
3+264	3+314	FG
3+314	3+556	M
3+556	3+809	M
3+809	4+038	M
4+038	6+010	M
6+010	6+600	M
6+600	7+298	M
7+298	9+017	M
9+017	9+073	M
9+073	9+732	M
9+732	10+513	M
10+513	10+796	M
10+796	11+234	M
11+234	11+313	FG
11+313	11+416	F
11+416	11+559	M

PK de début	PK de fin	Matériau de surface dominant / Type de sol
11+559	12+284	M
12+284	12+870	M
12+870	13+144	M
13+144	13+362	FG
13+362	13+401	N
13+401	13+681	FG
13+681	13+786	FG
13+786	13+945	M
13+945	15+283	M
15+283	15+310	M
15+310	15+463	M
15+463	15+613	FG
15+613	15+718	M
15+718	16+358	M
16+358	16+565	M
16+565	17+077	M
17+077	17+084	M
17+084	17+197	M
17+197	17+279	M
17+279	17+354	M
17+354	17+459	F
17+459	17+482	F
17+482	17+736	M
17+736	17+974	M
17+974	18+018	M
18+018	18+203	M
18+203	18+288	M
18+288	18+825	M
18+825	19+479	M
19+479	19+643	FG
19+643	19+866	FG
19+866	20+466	FG
20+466	20+492	F
20+492	20+774	FG
20+774	20+944	FG

PK de début	PK de fin	Matériau de surface dominant / Type de sol
20+944	21+555	M
21+555	21+576	M
21+576	21+600	M
21+600	21+721	FG
21+721	21+748	F
21+748	21+800	FG
21+800	21+877	Mb
21+877	22+010	M
22+010	22+226	M
22+226	22+256	M
22+256	22+547	M
22+547	22+703	M
22+703	22+781	M
22+781	22+845	M
22+845	23+052	M
23+052	23+157	M
23+157	23+187	M
23+187	23+208	M
23+208	23+389	M
23+389	23+502	FG
23+502	23+553	F
23+553	23+581	F
23+581	23+909	FG
23+909	24+292	M
24+292	24+928	M
24+928	24+973	M
24+973	25+381	M
25+381	26+785	M
26+785	27+115	M
27+115	27+197	FG
27+197	27+482	FG
27+482	27+599	Fv
27+599	27+607	F
27+607	27+859	FG
27+859	28+037	FG

PK de début	PK de fin	Matériau de surface dominant / Type de sol
28+037	28+192	M
28+192	29+700	M
29+700	29+931	M
29+931	30+163	FG
30+163	30+203	F
30+203	30+263	F
30+263	30+659	M
30+659	30+771	M
30+771	30+883	M
30+883	31+165	FG
31+165	31+205	F
31+205	31+959	FG
31+959	32+141	FG
32+141	32+304	FG
32+304	32+771	M
32+771	34+823	M
34+823	35+072	FG
35+072	35+144	F
35+144	35+258	FG
35+258	35+373	M
35+373	37+467	M
37+467	37+525	F
37+525	39+546	M
39+546	39+570	F
39+570	40+314	FG
40+314	40+462	F
40+462	40+648	FG
40+648	40+660	FG
40+660	41+340	FG
41+340	41+880	M
41+880	42+874	FG
42+874	43+745	FG
43+745	43+864	Fb
43+864	44+530	M
44+530	44+585	M

PK de début	PK de fin	Matériau de surface dominant / Type de sol
44+585	44+610	M
44+610	44+675	M
44+675	44+855	M
44+855	44+910	F
44+910	45+795	M
45+795	45+830	F
45+830	45+885	M
45+885	45+945	M
45+945	46+460	M
46+460	46+671	M
46+671	46+846	M
46+846	51+366	Pas d'image
51+366	52+075	M
52+075	52+380	M
52+380	52+510	O
52+510	52+741	M
52+741	54+375	M
54+375	54+560	M
54+560	54+630	O
54+625	55+888	M
55+888	57+005	FG
57+005	58+540	M
58+540	58+569	M
58+569	59+134	M
59+134	59+665	FG
59+665	59+736	M
59+736	60+135	M
60+135	61+390	M
61+390	61+583	M
61+583	61+840	M
61+840	63+576	M
63+576	64+051	M
64+051	64+560	M
64+560	64+655	F
64+655	65+227	M

PK de début	PK de fin	Matériau de surface dominant / Type de sol
65+227	65+361	M
65+361	65+430	M
65+430	65+575	M
65+575	65+847	M
65+847	65+965	FG
65+965	66+005	FG
66+005	66+132	M
66+132	66+160	M
66+160	66+643	M
66+643	67+118	M
67+118	67+545	M
67+545	73+635	M
73+635	73+840	FG
73+840	73+910	F
73+910	74+250	M
74+250	81+100	Pas d'image
81+100	81+596	M
81+596	82+190	M
82+190	83+257	M
83+257	83+640	M
83+640	84+022	M
84+022	84+223	M
84+223	84+296	F
84+296	84+342	M
84+342	84+403	M
84+403	84+461	M
84+461	84+498	M
84+498	84+886	M
84+886	85+285	M
85+285	85+290	M
85+290	86+230	M
86+230	86+420	FG
86+420	89+784	M
89+784	90+317	M
90+317	91+949	M

PK de début	PK de fin	Matériau de surface dominant / Type de sol
91+949	92+268	FG
92+268	94+247	M
94+247	94+325	F
94+325	97+400	M
97+400	97+451	M
97+451	97+865	FG
97+865	98+104	Fv
98+104	98+140	N
98+140	98+901	M
98+901	99+040	M
99+040	99+070	M
99+070	99+107	M
99+107	100+710	M
100+710	101+040	M
101+040	101+050	M
101+050	101+165	M
101+165	101+184	M
101+184	101+415	M
101+415	101+428	M
101+428	101+463	M
101+463	101+605	M
101+605	101+625	M
101+625	101+647	N
101+647	107+880	M
107+880	108+323	M
108+323	109+161	M
109+161	109+712	M
109+712	109+848	M
109+848	110+208	M
110+208	110+310	M
110+310	110+606	M
110+606	110+778	M
110+778	110+900	M
110+900	111+155	M
111+155	111+537	M

PK de début	PK de fin	Matériau de surface dominant / Type de sol
111+537	111+684	M
111+684	111+865	M
111+865	112+230	FG
112+230	112+386	F
112+386	113+055	FG
113+055	113+161	O
113+161	113+518	FG
113+518	113+739	O
113+739	114+710	FG
114+710	117+167	M
117+167	117+814	M
117+814	117+835	O
117+835	117+870	M
117+870	118+074	M
118+074	118+806	M
118+806	118+902	O
118+902	120+193	M
120+193	121+370	M
121+370	121+378	O
121+378	122+165	M
122+165	122+247	FG
122+247	122+269	N
122+269	122+619	FG
122+619	122+687	O
122+687	122+720	FG
122+720	123+905	M
123+905	123+940	O
123+940	125+050	M
125+050	125+271	M
125+271	125+417	C
125+417	125+632	F
125+632	125+775	N
125+775	126+595	F
126+595	127+690	FG
127+690	127+908	F

PK de début	PK de fin	Matériau de surface dominant / Type de sol
127+908	128+296	FG
128+296	129+140	FG
129+140	129+270	FG
129+270	129+395	F
129+395	129+520	FG
129+520	130+574	FG
130+574	131+235	FG
131+235	131+691	FG
131+691	131+787	F
131+787	131+813	N
131+813	132+225	F
132+225	133+714	FG
133+714	135+610	M
135+610	135+828	M
135+828	135+968	M
135+968	136+091	R
136+091	136+827	M
136+827	137+041	R
137+041	137+604	M
137+604	137+702	F
137+702	138+537	M
138+537	139+664	M
139+664	140+105	M
140+105	140+494	M
140+494	141+375	M
141+375	141+526	O
141+526	141+933	M
141+933	142+533	O
142+533	142+616	M
142+616	143+968	M
143+968	144+043	F
144+043	144+256	M
144+256	144+389	O
144+389	144+981	M
144+981	145+032	F

PK de début	PK de fin	Matériau de surface dominant / Type de sol
145+032	145+286	M
145+286	145+453	F
145+453	145+882	M
145+882	145+972	F
145+972	146+135	M
146+135	147+378	F
147+378	149+278	M
149+278	149+307	F
149+307	149+344	F
149+344	149+423	F
149+423	149+547	M
149+547	150+234	F
150+234	150+629	FG
150+629	151+650	M
151+650	151+835	FG
151+835	151+975	F
151+975	152+126	M
152+126	152+229	M
152+229	153+874	M
153+874	154+074	F
154+074	154+205	FG
154+205	154+750	M
154+750	155+486	M
155+486	155+875	M
155+875	156+885	M
156+885	157+031	F
157+031	157+345	M
157+345	158+060	Mb
158+060	158+165	F
158+165	158+390	M
158+390	158+780	M
158+780	159+080	M
159+080	159+499	M
159+499	160+577	M
160+577	160+650	F

PK de début	PK de fin	Matériau de surface dominant / Type de sol
160+650	160+668	N
160+668	160+730	F
160+730	160+745	N
160+745	160+753	F
160+753	161+539	M
161+539	161+563	F
161+563	163+328	M
163+328	163+396	F
163+396	163+749	FG
163+749	164+290	FG
164+290	165+000	M
165+000	165+149	FG
165+149	165+448	FG
165+448	165+760	M
165+760	166+121	FG
166+121	166+408	M
166+408	167+070	FG
167+070	167+491	M
167+491	167+730	FG
167+730	169+045	M
169+045	169+715	M
169+715	170+065	FG
170+065	170+202	F
170+202	170+324	M
170+324	170+448	M
170+448	171+469	R
171+469	171+851	M
171+851	172+795	FG
172+795	173+143	M
173+143	173+675	M
173+675	173+795	M
173+795	174+685	M
174+685	174+930	M
174+930	175+110	FG
175+110	175+844	FG

PK de début	PK de fin	Matériau de surface dominant / Type de sol
175+844	175+995	M
175+995	176+161	M
176+161	176+362	R
176+362	176+487	M
176+487	176+846	M
176+846	177+173	FG
177+173	177+301	FG
177+301	177+855	FG
177+855	177+455	M
177+455	194+380	Pas d'image
194+380	196+409	M
196+409	196+841	M
196+841	197+656	M
197+656	198+174	FG
198+174	198+252	F
198+252	199+331	FG
199+331	199+407	F
199+407	200+097	FG
200+097	200+716	FG
200+716	200+987	FG
200+987	201+047	F
201+047	201+265	FG
201+265	206+837	FG
206+837	207+884	M
207+884	208+256	FG
208+256	208+407	F
208+407	208+911	FG
208+911	212+661	M
212+661	212+721	F
212+721	213+142	M
213+142	214+885	M
214+885	217+809	M
217+809	217+876	O
217+876	218+106	FG
218+106	218+176	F

PK de début	PK de fin	Matériau de surface dominant / Type de sol
218+176	224+746	M
224+746	224+786	O
224+786	225+376	FG
225+376	225+821	FG
225+821	225+866	O
225+866	226+976	FG
226+976	227+027	M
227+027	227+535	FG
227+535	227+562	M
227+562	227+866	FG
227+866	227+921	O
227+921	228+630	FG
228+630	228+711	M
228+711	229+876	FG
229+876	230+081	M
230+081	230+226	FG
230+226	234+185	M
234+185	235+310	Pas d'image
235+310	238+251	M
238+251	238+291	O
238+291	242+716	M
242+716	243+056	O
243+056	243+116	M
243+116	243+451	O
243+451	248+860	Pas d'image
248+860	248+961	M
248+961	249+051	O
249+051	249+206	M
249+206	249+246	O
249+246	249+366	M
249+366	249+511	O
249+511	254+496	M
254+496	254+511	O
254+511	254+546	M
254+546	254+641	O

PK de début	PK de fin	Matériau de surface dominant / Type de sol
254+641	254+791	F
254+791	256+536	M
256+536	258+521	FG
258+521	261+201	M
261+201	261+295	O
261+295	261+434	M
261+434	261+491	O
261+491	261+926	M
261+926	262+020	O
262+020	262+452	M
262+452	262+616	O
262+616	262+953	M
262+953	263+036	O
263+036	263+271	M
263+271	263+337	O
263+337	263+452	M
263+452	263+508	O
263+508	263+886	M
263+886	264+021	O
264+021	264+802	M
264+802	264+862	O
264+862	264+901	O
264+901	265+652	M
265+652	265+728	O
265+728	266+771	M
266+771	266+831	O
266+831	266+931	M
266+931	266+971	O
266+971	267+022	M
267+022	267+067	O
267+067	267+151	M
267+151	267+286	O
267+286	267+736	M
267+736	267+811	O
267+811	268+251	M

PK de début	PK de fin	Matériau de surface dominant / Type de sol
268+251	268+587	O
268+587	268+941	M
268+941	269+066	O
269+066	270+603	M
270+603	270+806	M
270+806	271+493	M
271+493	271+784	M
271+784	271+930	M
271+930	272+011	O
272+011	272+365	M
272+365	275+225	Pas d'image
275+225	277+484	M
277+484	277+525	M
277+525	279+135	M
279+135	279+255	O
279+255	279+952	M
279+952	280+314	M
280+314	281+106	Mu
281+106	281+201	F
281+201	283+073	FG
283+073	283+240	N
283+240	284+281	FG
284+281	284+430	Ov
284+430	284+646	FG
284+646	284+726	O
284+722	284+966	FG
284+966	285+176	O
285+176	285+567	FG
285+567	285+816	O
285+816	286+541	FG
286+541	286+750	O
286+750	286+810	FG
286+810	286+871	O
286+871	287+486	FG
287+486	287+604	A

PK de début	PK de fin	Matériau de surface dominant / Type de sol
287+604	287+861	FG
287+861	288+041	A
288+041	288+236	FG
288+236	288+331	A
288+331	288+381	FG
288+381	288+566	A
288+566	289+096	FG
289+096	289+366	O
289+366	289+426	O
289+426	289+439	O
289+439	291+754	FG
291+754	291+964	A
291+964	292+101	N
292+101	293+143	A
293+143	295+291	M
295+291	295+452	O
295+452	298+091	M
298+091	298+458	F
298+458	301+565	M
301+565	301+734	O
301+734	302+006	O
302+006	303+176	M
303+176	303+216	F
303+216	303+814	M
303+814	303+885	O
303+885	304+306	M
304+306	304+401	O
304+401	304+964	M
304+964	304+964	O
304+964	305+385	M
305+385	305+386	O
305+385	305+386	M
305+386	305+428	O
305+428	305+895	M
305+895	305+935	O

PK de début	PK de fin	Matériau de surface dominant / Type de sol
305+935	307+086	M
307+086	307+191	O
307+191	307+232	M
307+232	307+341	O
307+341	309+136	M
309+136	309+696	O
309+696	310+901	M
310+901	310+949	N
310+949	311+956	M
311+956	312+042	O
312+042	313+203	M
313+203	313+397	N
313+397	313+956	FG
313+956	317+126	M
317+126	318+044	M
318+044	318+390	F
318+390	318+431	F
318+431	318+477	M
318+477	318+881	M
318+881	319+771	M
319+771	319+918	M
319+918	320+166	M
320+166	320+246	M
320+246	323+891	M
323+891	328+041	M
328+041	328+771	M
328+771	328+782	LG
328+782	328+838	O
328+838	328+894	LG
328+894	328+927	F
328+927	329+575	M
329+575	331+148	M
331+148	331+884	M
331+884	332+325	M
332+325	332+342	M

PK de début	PK de fin	Matériau de surface dominant / Type de sol
332+342	332+502	M
332+502	333+729	M
333+729	334+111	M
334+111	334+126	FG
334+111	334+126	M
334+126	334+316	FG
334+316	334+406	F
334+406	334+481	FG
334+481	334+646	O
334+646	335+329	FG
335+329	336+621	M
336+621	337+171	WG
337+171	337+356	M
337+356	337+458	C
337+458	337+944	WG
337+944	338+291	C
338+291	338+646	F
338+646	338+909	M
338+909	341+401	WG
341+401	341+493	F
341+493	342+080	M
342+080	342+183	M
342+183	342+709	M
342+709	342+813	M
342+813	344+146	M
344+146	344+916	WG
344+916	345+381	WG
345+381	346+051	M
346+051	346+064	M
346+064	346+067	M
346+067	346+076	M
346+076	346+083	M
346+083	346+103	M
346+103	346+107	M
346+107	346+116	M

PK de début	PK de fin	Matériau de surface dominant / Type de sol
346+116	346+116	M
346+116	346+116	M
346+116	346+121	M
346+121	348+206	M
348+206	349+121	M
349+121	349+171	M
349+171	349+256	M
349+256	349+686	M
349+686	349+768	M
349+768	349+793	O
349+793	350+286	M
350+286	351+384	M
351+384	351+761	M
351+761	351+783	M
351+783	351+951	C
351+951	352+621	M
352+621	353+220	WG
353+220	353+365	N
353+365	353+616	F
353+616	354+928	WG
354+928	355+366	WG
355+366	355+511	WG
355+511	356+022	WG
356+022	356+406	WG
356+406	358+086	M
358+086	359+381	M
359+381	359+416	O
359+416	359+502	M
359+502	359+550	O
359+550	361+136	M
361+136	361+361	M
361+361	361+911	M
361+911	362+891	M
362+891	363+449	M
363+449	364+526	M

PK de début	PK de fin	Matériau de surface dominant / Type de sol
364+526	364+925	FG
364+925	365+786	M
365+786	365+829	F
365+829	366+786	M
366+786	367+997	M
367+997	368+081	N
368+081	368+687	M
368+687	368+986	FG
368+986	369+040	FG
369+040	369+141	F
369+141	369+461	FG
369+461	369+611	M
369+611	369+721	M
369+721	369+738	M
369+738	369+791	M
369+791	370+527	M
370+527	371+398	C
371+398	371+783	M
371+783	372+628	M
372+638	372+851	F
372+851	373+086	M
373+086	373+671	M
373+671	374+156	M
374+156	375+536	M
375+536	375+666	M
375+666	375+905	M
375+905	376+561	M
376+561	376+971	M
376+971	377+046	M
377+046	377+066	O
377+066	377+116	M
377+116	377+566	M
377+566	377+661	M
377+661	378+406	M
378+406	378+626	M

PK de début	PK de fin	Matériau de surface dominant / Type de sol
378+626	379+166	M
379+166	379+321	M
379+321	379+748	M
379+748	380+126	M
380+126	380+529	M
380+529	380+861	M
380+861	380+939	M
380+939	381+006	M
381+006	381+166	M
381+166	381+261	M
381+261	381+936	M
381+936	382+211	M
382+211	382+246	M
382+246	382+291	F
382+291	382+621	M
382+621	382+758	M
382+758	383+191	M
383+191	383+476	M
383+476	383+591	M
383+591	383+749	M
383+749	384+288	M
384+288	384+326	M
384+326	384+466	M
384+466	384+544	M
384+544	384+706	M
384+706	384+761	M
384+761	385+111	M
385+111	386+612	M
386+612	386+871	M
386+871	386+896	M
386+896	387+011	M
387+011	387+121	M
387+121	387+416	M
387+416	387+471	M
387+471	387+876	R

PK de début	PK de fin	Matériau de surface dominant / Type de sol
387+876	388+073	M
388+073	388+105	R
388+105	388+236	M
388+236	388+376	M
388+376	388+667	M
388+667	389+016	M
389+016	389+425	M
389+425	389+947	M
389+947	391+938	M
391+938	392+692	M
392+692	392+696	M
392+696	393+436	M
393+436	393+811	M
393+811	393+871	M
393+871	393+961	R
393+961	394+246	M
394+246	394+905	M
394+905	395+066	O
395+066	395+081	M
395+081	396+089	M
396+089	396+166	F
396+166	396+192	N
396+192	396+232	F
396+232	396+286	M
396+286	396+327	M
396+327	396+374	M
396+374	396+443	O
396+443	396+501	O
396+501	396+673	O
396+673	396+711	M
396+711	396+751	O
396+751	396+836	M
396+836	396+882	M
396+882	396+997	M
396+997	397+221	M

PK de début	PK de fin	Matériau de surface dominant / Type de sol
397+221	397+286	M
397+286	397+413	M
397+413	397+470	R
397+470	398+214	M
398+214	398+281	R
398+281	398+305	N
398+305	398+391	M
398+391	398+429	O
398+429	398+792	M
398+792	398+892	O
398+892	399+086	M
399+086	399+116	O
399+116	399+151	M
399+151	399+181	O
399+181	399+236	M
399+236	399+336	O
399+336	399+461	M
399+461	399+596	O
399+596	399+711	M
399+711	399+907	M
399+907	399+964	M
399+964	399+989	R
399+989	400+067	O
400+067	400+126	M
400+126	400+201	O
400+201	400+283	M
400+283	400+331	M
400+331	400+406	M
400+406	400+526	O
400+526	401+002	M
401+002	401+296	M
401+296	401+556	M
401+556	401+631	M
401+631	401+936	M
401+936	402+429	R

PK de début	PK de fin	Matériau de surface dominant / Type de sol
402+429	402+734	M
402+734	402+795	O
402+795	403+106	M
403+106	403+331	O
403+331	403+406	M
403+406	403+471	O
403+471	404+571	M
404+571	404+608	O
404+608	404+661	M
404+661	404+741	O
404+741	404+761	R
404+761	404+763	O
404+763	404+796	O
404+796	404+811	N
404+811	404+916	O
404+916	405+026	M
405+026	405+144	M
405+144	405+167	M
405+167	405+413	M
405+413	405+441	O
405+441	405+853	M
405+853	405+903	O
405+903	406+058	M
406+058	406+085	O
406+085	406+191	M
406+191	406+219	O
406+219	406+666	M
406+666	406+751	M
406+751	406+851	M
406+851	407+398	M
407+398	407+549	M
407+549	408+826	M
408+826	408+881	WG
408+881	408+886	Mv
408+886	408+891	WG

PK de début	PK de fin	Matériau de surface dominant / Type de sol
408+886	408+931	Mv
408+931	409+516	R
409+516	410+086	WG
410+086	410+437	WG
410+437	410+581	WG
410+581	410+698	R
410+698	410+747	WG

Matériau de surface dominant / Codes des types de sol

Matériau de surface / Type de sol

A	Anthropogénique	C	Colluvion
FG	Fluvioglaciale	F	Fluvial
LG	Glaciolacustre	M	Till
N	Eau	O	Organique
R	Assise rocheuse	WG	Glaciomarin